

粒子物理前沿卓越创新中心

2017年考评报告

刘朝峰

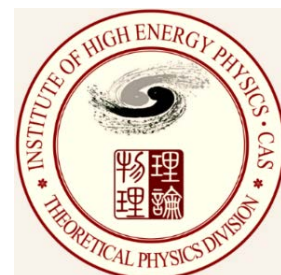
理论物理室

中国科学院高能物理研究所

2017.12.2

报告内容

1. 研究工作介绍
2. 会议、论文等



研究工作介绍

研究方向

格点量子色动力学 (Lattice QCD)

用蒙特卡罗数值模拟的方法，非微扰地求解描写强相互作用的量子色动力学理论

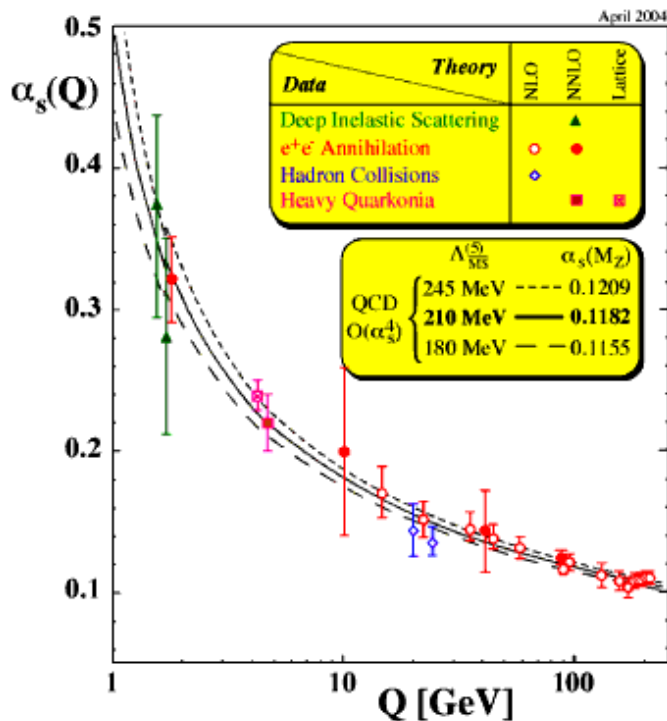


FIG. 1: QCD running coupling constant

- 提高QCD理论计算的精度
- 新强子态相关研究
- ✓ 夸克手征凝聚
- ✓ 胶球相关研究
- ✓ 重整化常数(服务性工作)
- ✓ 粲及轻介子衰变常数

夸克手征凝聚

- $\langle \bar{\psi}\psi \rangle$ 是手征对称性自发破缺的序参量
- 最低阶手征微扰论拉氏量的两个低能常数之一, $B = -\langle \bar{\psi}\psi \rangle / f^2$

$$\mathcal{L}_2 = \frac{f^2}{4} \text{Tr}(\partial_\mu U \partial_\mu U^\dagger) + B \frac{f^2}{2} \text{Tr}[M(U + U^\dagger)]$$

➤ 我们计算 $\langle \bar{\psi}\psi \rangle$ 的方法:
比较夸克传播子的算符乘积展开表达式
与格点QCD的数值结果

Collaboration	Ref.	N_f	publication status	chiral extrapolation	continuum extrapolation	finite volume	renormalization	$\Sigma^{1/3}$
ETM 13	[33]	2+1+1	A	○	★	★	★	280(8)(15)
RBC/UKQCD 15E	[334]	2+1	P	★	★	★	★	274.2(2.8)(4.0)
* RBC/UKQCD 14B	[10]	2+1	A	★	★	★	★	275.9(1.9)(1.0)
* BMW 13	[35]	2+1	A	★	★	★	★	271(4)(1)
* Borsanyi 12	[34]	2+1	A	★	★	★	★	272.3(1.2)(1.4)
* MILC 10A	[13]	2+1	C	○	★	★	★	281.5(3.4) $(\begin{smallmatrix} +2.0 \\ -5.9 \end{smallmatrix})$ (4.0)
JLQCD/TWQCD 10A	[337]	2+1	A	★	■	○	★	234(4)(17)
RBC/UKQCD 10A	[144]	2+1	A	○	○	○	★	256(5)(2)(2)
JLQCD 09	[336]	2+1	A	★	■	○	★	242(4) $(\begin{smallmatrix} +19 \\ -18 \end{smallmatrix})$
MILC 09A, $SU(3)$ -fit	[6]	2+1	C	○	★	★	★	279(1)(2)(4)
MILC 09A, $SU(2)$ -fit	[6]	2+1	C	○	★	★	★	280(2) $(\begin{smallmatrix} +4 \\ -8 \end{smallmatrix})$ (4)
MILC 09	[89]	2+1	A	○	★	★	★	278(1) $(\begin{smallmatrix} +2 \\ -3 \end{smallmatrix})$ (5)
TWQCD 08	[339]	2+1	A	■	■	■	★	259(6)(9)
JLQCD/TWQCD 08B	[340]	2+1	C	○	■	■	★	249(4)(2)
PACS-CS 08, $SU(3)$ -fit	[93]	2+1	A	★	■	■	■	312(10)
PACS-CS 08, $SU(2)$ -fit	[93]	2+1	A	★	■	■	■	309(7)
RBC/UKQCD 08	[145]	2+1	A	○	■	○	★	255(8)(8)(13)
* Engel 14	[38]	2	A	★	★	★	★	263(3)(4)
* Brandt 13	[37]	2	A	○	★	○	★	261(13)(1)
* ETM 13	[33]	2	A	○	★	○	★	283(7)(17)
ETM 12	[341]	2	A	○	★	○	★	299(26)(29)
Bernardoni 11	[342]	2	C	○	■	■	★	306(11)
TWQCD 11	[248]	2	A	○	■	■	★	230(4)(6)
TWQCD 11A	[343]	2	A	○	■	■	★	259(6)(7)
JLQCD/TWQCD 10A	[337]	2	A	★	■	■	★	242(5)(20)
Bernardoni 10	[344]	2	A	○	■	■	★	262 $(\begin{smallmatrix} +33 \\ -34 \end{smallmatrix})$ $(\begin{smallmatrix} +4 \\ -5 \end{smallmatrix})$
* ETM 09C	[36]	2	A	○	★	○	★	270(5) $(\begin{smallmatrix} +3 \\ -4 \end{smallmatrix})$
ETM 09B	[345]	2	C	★	■	○	★	245(5)
ETM 08	[41]	2	A	○	○	○	★	264(3)(5)
CERN 08	[301]	2	A	○	■	○	★	276(3)(4)(5)
Hasenfratz 08	[346]	2	A	○	■	★	★	248(6)
JLQCD/TWQCD 08A	[138]	2	A	○	■	■	★	235.7(5.0)(2.0) $(\begin{smallmatrix} +12.7 \\ -0.0 \end{smallmatrix})$
JLQCD/TWQCD 07	[347]	2	A	★	■	■	★	239.8(4.0)
JLQCD/TWQCD 07A	[348]	2	A	★	■	■	★	252(5)(10)

夸克手征凝聚

- 夸克传播子: $S_q(p) \equiv \int d^4x e^{-ip \cdot x} \langle T \psi(x) \bar{\psi}(0) \rangle = \frac{-i \not{p} V(p^2)}{p^2} + \frac{S(p^2)}{p^2}$

- $\langle \bar{\psi} \psi \rangle$ from $S(p^2)/V(p^2)$

$$\langle \bar{\psi} \psi \rangle^{\overline{\text{MS}}} (2 \text{ GeV}) = (-304(15) \text{ MeV})^3$$

- $\langle \bar{\psi} \psi \rangle$ from $S(p^2)$

$$\langle \bar{\psi} \psi \rangle^{\overline{\text{MS}}} (2 \text{ GeV}) = (-284(13) \text{ MeV})^3$$

- 两中心值的差作为系统误差(离散误差):

$$\langle \bar{\psi} \psi \rangle^{\overline{\text{MS}}} (2 \text{ GeV}) = (-304(15)(20) \text{ MeV})^3$$

- Chao Wang* (王超, 博士生), Yujiang Bi, Hao Cai, Ying Chen, Ming Gong, Zhaofeng Liu*, "Quark chiral condensate from the overlap quark propagator", Chin. Phys. C41 (2017) 053102 [arXiv:1612.04579], 5月份期刊亮点(highlights)之一

- ✓ 统计误差
- ✓ 格距误差
- ✓ 拟合区间
- ✓ 截断误差

胶球相关研究

- 2-味非对称格子组态(两个 π 质量点; 大统计量: 4800/10400个组态)
- 使用24个由胶子场构造的算符; 变分法(优化算符)
- 张量 2^{++} , 赝标量, 标量道的基态质量

	m_π (MeV)	$m_{0^{++}}$ (MeV)	$m_{2^{++}}$ (MeV)	$m_{0^{-+}}$ (MeV)
$N_f = 2$	938	1397(25)	2367(35)	2559(50)
	650	1480(52)	2380(61)	2605(52)
$N_f = 2 + 1$ [6]	360	1795(60)	2620(50)	—
quenched [1]	—	1710(50)(80)	2390(30)(120)	2560(35)(120)
quenched [2]	—	1730(50)(80)	2400(25)(120)	2590(40)(130)

我们的结果
W. Sun et al.,
arXiv:1702.08174

[1] Morningstar, Peardon, PRD60,034509(1999)

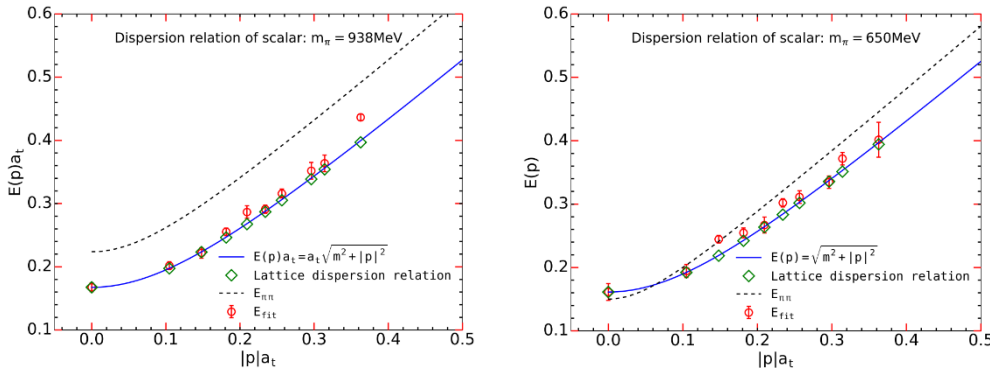
[2] Chen et al., PRD73,014516(2006)

[6] Gregory et al., JHEP10,170(2012)

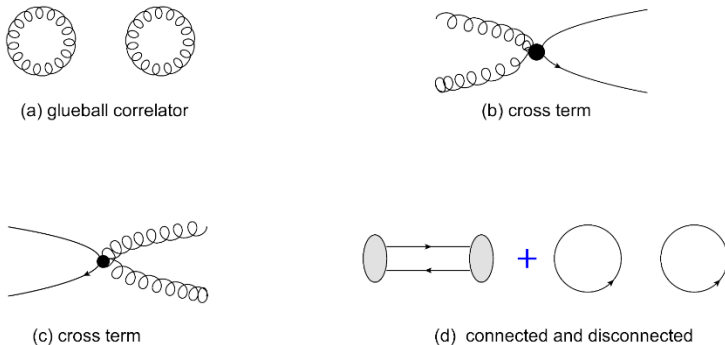
- $2^{++}, 0^{-+}$:
 - 和淬火近似下的结果一致
 - 对 π 质量不敏感
- 0^{++} : 与 $q\bar{q}$ 态的混合?

标量道的进一步研究

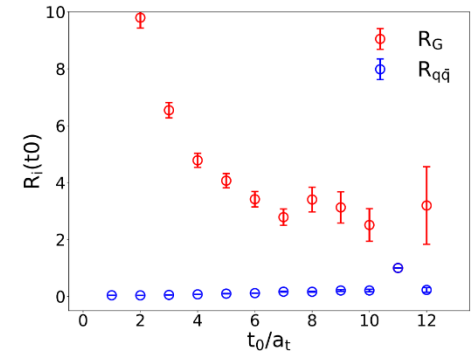
- 通过色散关系确认标量道的基态是一个单粒子态



- 从胶子场优化算符与 $q\bar{q}$ 算符构造关联函数矩阵, 研究可能的混合



$$R_i(t_0) = \frac{\langle 0|O_i|1^{st}(t_0)\rangle}{\langle 0|O_i|2^{nd}(t_0)\rangle}$$



- Wei Sun, Long-Cheng Gui, Ying Chen, Ming Gong, **Zhaofeng Liu**, “Glueball relevant study on isoscalar from $N_f = 2$ lattice QCD”, Lattice2017, EPJ Web Conf., [arXiv:1711.00711]

重整化常数、衰变常数

计算框架:

- 价夸克: 重叠费米子 (overlap fermion)
- 2+1-味 (domain wall fermion) 全QCD模拟组态 (RBC-UKQCD合作组) [T. Blum et al., PRD93, no.7, 074505 (2016)]
- 物理的轻夸克(u, d)质量: $M_{\pi}^{(\text{sea})} = 139.2(4) \text{ MeV}$

➤ 双线性算符重整化: $\bar{\psi}\Gamma\psi$, $\Gamma = I, \gamma_5, \gamma_{\mu}, \gamma_{\mu}\gamma_5, \sigma_{\mu\nu}$

➤ 介子衰变常数: $f_{D^{(*)}}, f_{D_s^{(*)}}, f_V^T/f_V$ 等

重整化常数

$$O(\mu) = Z(\mu, a)O(a)$$

- 联系格点QCD(裸)结果与实验、唯象的桥梁: 夸克流质量, 强子矩阵元 (形状因子、衰变常数),
- 与精确测量相关的格点QCD计算与实验测量相互推动提高精度
- 重整化常数的统计误差已可以小于系统误差
 - 例如: $Z_S^{\overline{MS}}(2 \text{ GeV})=1.127(9)(19)$, [ZL et al. (χ QCD Collab.), PRD90, 2014]

TABLE V. Error budget of $Z_S^{\overline{MS}}(2 \text{ GeV})$ in the chiral limit.

Source	Error (% , L=24)	Error (% , L=32)
Statistical	0.8	0.6
Truncation (RI to \overline{MS})	1.5	1.4
Coupling constant	0.3	0.3
Perturbative running	<0.02	<0.02
Lattice spacing	0.5	0.4
Fit range of $a^2 p^2$	0.4	0.1
Extrapolation in m_l^R	0.2	1.8
Total systematic uncertainty	1.7	2.3

- 新计算: 用两种动量减除方案过渡, 最终给出匹配到 \overline{MS} 方案的结果
- 进一步缩小统计误差与系统误差

数值结果

Matching factors to the $\overline{\text{MS}}$ scheme for the quark field and bilinear quark operators

Z_A	$Z_q(2 \text{ GeV})$	$Z_T(2 \text{ GeV})$	$Z_S(2 \text{ GeV})$	$Z_P(2 \text{ GeV})$
1.1025(9)	1.2157(54)	1.1631(24)	1.118(18)	1.123(19)

- $Z_S^{\overline{\text{MS}}}(2 \text{ GeV})$ 的精度从2%提高到1.6%
- $Z_T^{\overline{\text{MS}}}(2 \text{ GeV})$ 的精度达到0.3%
- $Z_T^{\overline{\text{MS}}}(2 \text{ GeV})/Z_V$ 的精度达到0.2%
- Yujiang Bi* (毕玉江, 联培博士生), Hao Cai*, Ying Chen, Ming Gong, Keh-Fei Liu, Zhaofeng Liu*, Yi-Bo Yang, “RI/MOM and RI/SMOM renormalization of overlap quark bilinears on domain wall fermion configurations”, [arXiv:1710.08678], submitted to Phys. Rev. D

介子衰变常数 $f_{D^{(*)}}$, $f_{D_s^{(*)}}$, f_V^T/f_V

- 定义: $\langle 0 | \bar{s} \gamma_\mu \gamma_5 c | D_s \rangle = f_{D_s} p_\mu$

$$\langle 0 | \bar{q}(0) \gamma^\mu q'(0) | V(p, \lambda) \rangle = \underline{f_V} m_V e_\lambda^\mu$$

$$\langle 0 | \left(\bar{q}(0) \sigma^{\mu\nu} q'(0) \right) (\mu) | V(p, \lambda) \rangle = i \underline{f_V^T} (\mu) (e_\lambda^\mu p^\nu - e_\lambda^\nu p^\mu)$$

- 从纯轻衰变抽取CKM矩阵元, 例如从 $D_s^{(*)}$ 的衰变得 $|V_{cs}|$

$$\Gamma(P \rightarrow \ell \nu) = \frac{G_F^2 |V_{q_1 q_2}|^2 f_P^2 m_\ell^2 M_P \left(1 - \frac{m_\ell^2}{M_P^2}\right)^2}{8\pi}$$

$$\Gamma_{(D_s^* \rightarrow \ell \nu)} = \frac{G_F^2}{12\pi} |V_{cs}|^2 f_{D_s^*}^2 M_{D_s^*}^3 \left(1 - \frac{m_\ell^2}{M_{D_s^*}^2}\right)^2 \left(1 + \frac{m_\ell^2}{2M_{D_s^*}^2}\right) \quad \text{尚无实验测量}$$

- 用因子化方法研究 B 介子非轻衰变时需要输入衰变常数 (e.g., f_{D^*} for $B \rightarrow D^{(*)} M$)

介子衰变常数

- 用光锥求和规则计算 $B \rightarrow \rho$, $B \rightarrow K^*$ 等过程中的形状因子时, f_V^T/f_V 是一个重要的输入参数
- 例如 f_ρ^T/f_ρ 的值如果改变 25%, 会影响形状因子 $A_1^{B \rightarrow \rho}(q^2)$ 的值改变 15-20%
- f_V^T 目前不能从实验来, 需用理论计算
- 初步结果 (统计误差 + 重整化常数误差)

	D	D^*	D_s	D_s^*
f_M/MeV	213(1)	235(3)	248(2)	275(5)

$$f_{D^*}/f_D = 1.10(3)$$

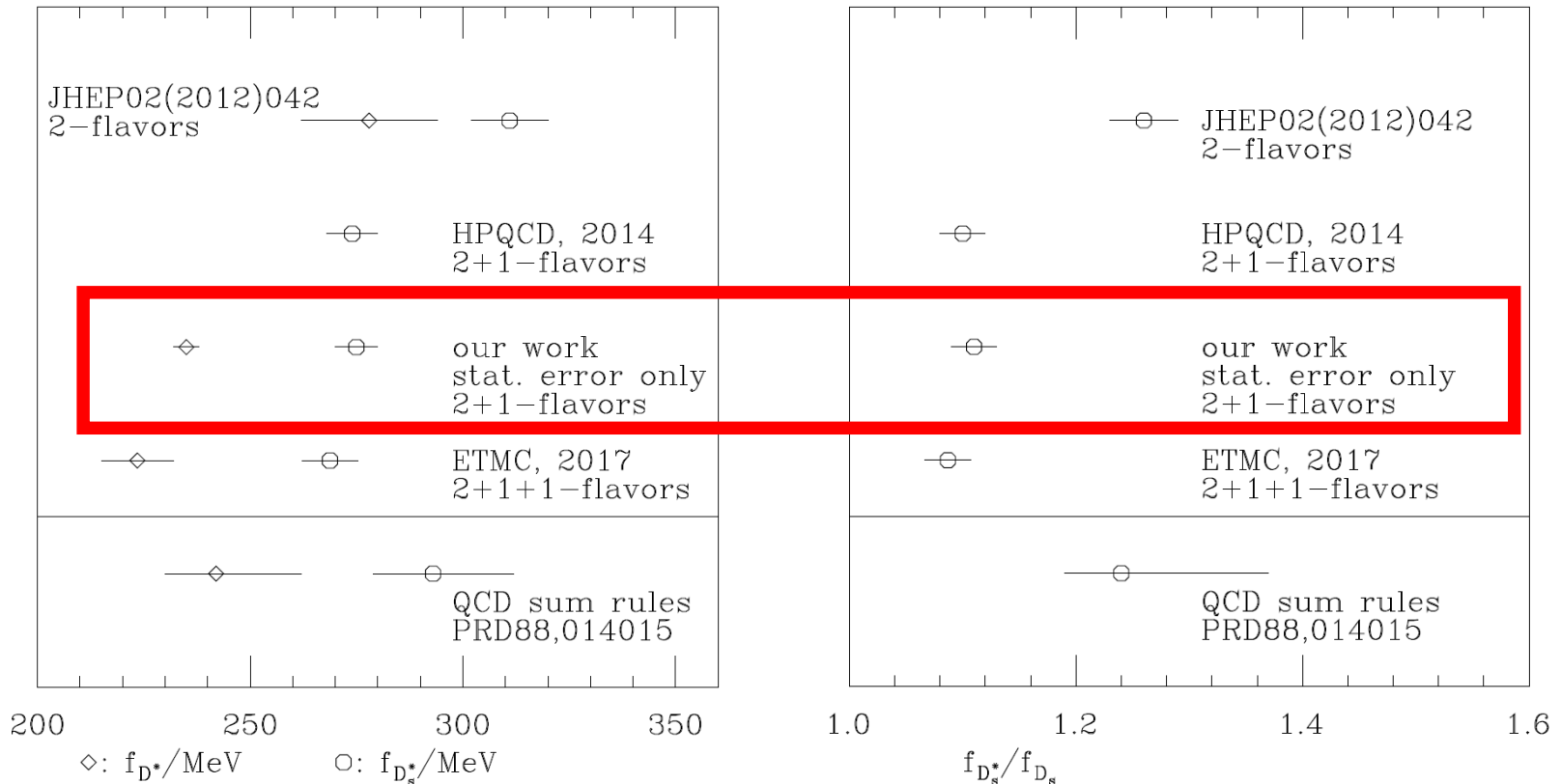
$$f_{D_s^*}/f_{D_s} = 1.11(2)$$

$\overline{\text{MS}}(2 \text{ GeV})$	K^*	ϕ	D^*	D_s^*
f_V^T/f_V	0.737(2)	0.762(2)	0.912(2)	0.917(2)

首个格点
QCD 计算

f_{D^*} and $f_{D_s^*}$

Wei-Feng Chiu et al., in preparation



- HPQCD, PRL112, 212002 (2014) 2 lattice spacings, 2+1-flavors
- ETMC, PRD96, 034524 (2017) 3 a 's, 2+1+1-flavors
- Becirevic et al., JHEP02 (2012) 042 4 a 's, 2-flavors
- 奇异夸克的海夸克效应? 2-味结果与2+1-味, 2+1+1-味结果有所不同

会议和报告

- 第十届计算物理国际会议, 2017.1.16-20, 澳门, 组织格点QCD分会 (mini-symposium)
- 第17届全国中高能核物理大会暨第11届全国中高能核物理专题研讨会, 2017.5.5-9, 宜昌, “Lattice QCD and heavy flavor physics”, 大会报告
- 第三十五届国际格点场论年会, 2017.6.18-24, 西班牙格拉纳达, “Renormalization of overlap quark bilinear operators in RI/MOM and RI/SMOM schemes”, 毕玉江
- BESIII-BELLE-LHCb粲强子物理联合研讨会, 2017.9.22-24, 南开大学, “Charm physics in lattice QCD”
- The 3rd Sino-Americas workshop and school on the bound-state problem in continuum QCD, 2017.10.16-20, Nankai University, “Quark chiral condensate from overlap quark propagators”

- 论文

- “Quark chiral condensate from the overlap quark propagator”, Chao Wang, Yujiang Bi, Hao Cai, Ying Chen, Ming Gong, **Zhaofeng Liu**, [CPC41, no. 5, 053102 \(2017\)](#), one of the highlights of the May issue
- “Glueball spectrum from $N_f = 2$ lattice QCD study on anisotropic lattices”, Wei Sun, Long-Cheng Gui, Ying Chen, Ming Gong, Chuan Liu, Yu-Bin Liu, **Zhaofeng Liu**, Jian-Ping Ma, Jian-Bo Zhang, [[arXiv:1702.08174](#)], submitted to Phys. Rev. D
- “RI/MOM and RI/SMOM renormalization of overlap quark bilinears on domain wall fermion configurations”, Yujiang Bi, Hao Cai, Ying Chen, Ming Gong, Keh-Fei Liu, **Zhaofeng Liu**, Yi-Bo Yang, [[arXiv:1710.08678](#)], submitted to Phys. Rev. D

- 会议论文

- “Flavour anomalies in $b \rightarrow sl^+l^-$ processes – a round table discussion”, T. Blake, M. Gersabeck, L. Hofer, S. Jager, **Z. Liu**, R. Zwicky, XIIth Quark Confinement and the Hadron Spectrum, [EPJ Web Conf., 137, 01001 \(2017\)](#) [[arXiv:1703.10005](#)]
- “Glueball relevant study on isoscalar from $N_f = 2$ lattice QCD”, Wei Sun, Long-Cheng Gui, Ying Chen, Ming Gong, **Zhaofeng Liu**, The 35th International Symposium on Lattice Field Theory, [EPJ Web Conf.](#), [[arXiv:1711.00711](#)]

- **正在执行的经费情况**

- **主要成员, 科技部国家重点研发计划, 课题二“高能物理高性能计算应用软件开发”, 297万/794万, 2017.7-2020.6**
- **负责人, 基金委面上项目, 74万, 2016.01-2019.12**
- **主要成员, 基金委重点项目, 260万, 2014.01-2018.12**

- **其它**

- **国科大助教: 粒子物理基础, 量子场论, 规范场理论**
- **交流: 邀请MSU的Andrea Shindler**
- **国科大、南京大学本科生暑期实习**
- **科普翻译《量子时刻》获评2017年院优秀科普图书、2017年全国优秀科普作品**

谢谢！